

超並列計算機の実用並列計算モデル LogPQ と

1 P - 6

数値計算の実行評価

當山 孝義 堀口 進

北陸先端科学技術大学院大学情報科学研究所

1. はじめに

並列計算機の登場以来、PRAM モデルに現実性を考慮した制約を付加した様々な並列計算モデルが提案されてきた。近年、Culler らは、より実用的な並列計算モデルとして LogP モデル⁽¹⁾を提案した。

筆者らは、実用的観点から LogP モデルを検討し、その改良として LogPQ モデルを提案した。

そして、並列多倍長 GCD アルゴリズムの検討と、LogPQ エミュレータによる動作解析を行った。

2. LogPQ モデル

LogP モデルは、RAM を通信路で接続したものであり、共有メモリを持たない。プロセッサ間通信はメッセージパシングにより行われる。通信コストは 3 パラメータで表わす。すなわち、通信命令の実行時間 (overhead: α)、通信命令の実行可能な間隔 (gap: g)、通信路における遅延 (latency: L) である。また、プロセッサ数は P である。

LogP モデルの特長は、この 4 パラメータを実際の計算機構造に合わせて設定することにより、各種並列計算機の動作をモデル化できることである。

LogPQ モデルは、LogP の通信路にキューを付加し詳細化したものである。図 1 に LogPQ モデルを示す。プロセッサには送信キューおよび受信キュー、通信路には転送キューを導入している。各キュー長の上限として、 $SendQ$, $RecQ$, $TransQ$ の 3 パラメータを追加する。図の transfer rate は通信路の転送レートを、transfer latency および macro capacity は通信の集中がない場合の入出力プロセッサ間の遅延および通信路容量を示す。 L は送信命令開始時から受信までの時間、 α は通信命令の実行時間、 g はデータ送信間隔を示す。

LogPQ パラメータは、LogP モデルのパラメータと同様であるが、通信命令開始時が起点なのでアルゴリズムを検討しやすい。データ通信は 1 ワード通信を基準とし、複数ワードのデータ通信は、この組み合せで表わす。パラメータ P は LogP モデルと同じくプロセッサ数である。

3. 並列多倍長 GCD 計算

Practical parallel computation model LogPQ and evaluation of a numerical computation, Takayoshi Touyama and Susumu Horiguchi, Graduate School of Information Science, Japan Advanced Institute of Science and Technology

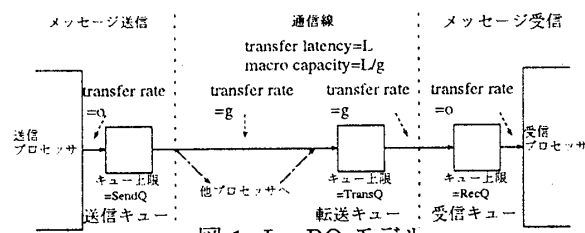


図 1: LogPQ モデル

1. $\delta := 0$
2. 以下の処理を $b = 0$ になるまで繰り返し実行する。
 - (1) $b:even$ の間、以下の保存変換を繰り返す。
 $gcd(a, b) := gcd(a, b/2)$, $\delta := \delta + 1$
 - (2) $\delta > 0$ ならば、以下の変換を実行する。
 $gcd(a, b) := gcd(b, a)$, $\delta := -\delta$
 - (3) 以下の保存変換を実行する。
 - $(b+a)/2 : even$ の場合
 $gcd(a, b) := gcd(a, (b+a)/2)$
 - $(b-a)/2 : even$ の場合
 $gcd(a, b) := gcd(a, (b-a)/2)$
3. $GCD := |a|$

図 2: Brent-Kung アルゴリズム

図 2 に、実用性の高い逐次アルゴリズムである Brent-Kung(BK) アルゴリズム⁽³⁾を示す。BK アルゴリズムは、保存変換の $O(n)$ 回繰り返して GCD を求める。

パイプライン計算は、多倍長整数の各ワード各 a_i をプロセッサ P_i に割り当て、 p 個のプロセッサによる並列計算を行うものである。プロセッサ間同期を、プロセッサ P_0 から P_{p-1} に向けて線型にとることにより、パイプライン動作をさせる。 P_i は P_{i-1} からの通信により動作を開始し P_{i+1} に通信を送る。キャリー処理は隣接プロセッサとの通信により行う。

パイプライン計算は、冗長性を付加した表記を用いることにより、キャリー伝搬による遅延の影響を避けることができる。本稿では、Signed Digit 表記⁽⁴⁾を拡張しキャリー処理回数を削減した拡張 SD 法を用いる。多倍長整数は、 $a = \sum a_i 2^i$ で表わされる。ただし、 $h > l$, $-2^h \leq a_i < 2^h$ である。

並列多倍長 GCD アルゴリズムは、保存変換フェーズ実行後、終了処理フェーズを実行する。保存変換フェーズは、保存変換ステップを $b = 0$ になるまで繰り返す。終了処理フェーズは、 a をバイナリ表記に変換しその絶対値を求める。保存変換ステップの実行時間を大きくするために、 P_0 で BK 保存変換算出を k 回繰り返し、この複合である k 変換⁽³⁾の、正負反転を k 変換行列と

する。この正負反転は $b = 0$ 比較の為である。 $b = 0$ ならば、最大 2 回の (-1) 乗算実行で $\wedge(b_i = 0)$ となる。また、多ワード複合として、 $P_i(0 < i < p - 1)$ には m ワード、 P_{p-1} には $m + 1$ ワードを割り当てる。

図 3 に保存変換フェーズ動作を示す。保存変換ステップは、以下のように実行される。 P_0 は、 k 変換行列 (c, d, e, f) を算出するとともに a_0, b_0 の積和演算を行う。 $P_j(0 < j < p - 1)$ は、以下を実行する。 P_{p-1} は同様であるが、最初に $b = 0(\equiv Z_{p-1})$ 比較を行う。

最初に上方向通信を行う。すなわち、 P_{j-1} よりデータ受信後、以下を $P_{j+1} \rightarrow P_j$ へ送信する。同期信号、 P_j 以下のプロセッサに割り当てられる b_i の全てが 0 であるかどうかを示すフラグ Z_i 、上キャリー n_a, n_b および k 変換行列。次に、 P_j に割当てられた各ワード a_i, b_i の積和演算を行う。図 4 に各ワードの積和演算を示す。最後に、 P_j に割当てられた b_i に対する $u = \wedge(b_i = 0)$ を求める。次の保存変換ステップの開始時点において、 P_{j+1} に伝達する $n_a, n_b(P_j$ に割当てられた最左ワードの $n_{a_i}, n_{b_i})$ 、 $Z_i (= Z_{i-1} \wedge u)$ は直ちに求まる。

パイプライン計算において、多倍長表記はプロセッサのワード長 w_p および通信路のワード長 w_c で制約される。本計算では、 $w_p \geq l+k+3, w_c \geq \max(h-l, k), 2l \geq h \geq l+3, l \geq 2k+1$ である。

遅延部分は、保存変換フェーズにおけるキャリー処理による遅延と、保存変換フェーズにおける Z_i 伝播遅延時間と終了処理フェーズ実行時間の和がある。前者は保存変換の実行回数に比例するので定率遅延、後者は一定なので定量遅延と呼ぶ。

保存変換フェーズにおいて、保存変換ステップ実行時間が大きい場合、下キャリー待ちは生じない。この条件は、多倍長計算の実行時間を t_m 、保存変換算出の実行時間を t_t とし、データ通信が上方向は l_u ワード、下方向は l_d ワードとする、 P_1 以降の隣接プロセッサ間の関係より $(L + (l_u - 1)g) + l_u \cdot o + t_m + (L + (l_d - 1)g) \leq l_u \cdot o + (m - 1)t_m + l_d \cdot o$ 、 P_0 と P_1 間の関係より $(L + (l_u - 1)g) + l_u \cdot o + t_m + (L + (l_d - 1)g) \leq l_u \cdot o + k \cdot t_t + l_d \cdot o$ である。また、 $P_i(i \geq 1)$ の保存変換ステップ実行時間が P_0 より大きいと、 P_0 に待ちが生じる。これは m の上限を規定する。これらは、定率遅延に影響している。以上より、所与の LogPQ パラメータに対する m, k の適当な範囲が得られる。

拡張 SD 法を用いる利点は、キャリー伝播の削除による定量遅延の削減である。 n_a, n_b, Z_i は、バイナリ表記では保存変換ステップが終了するまで得られなかつたのが、拡張 SD 法では保存変換ステップ開始時に得

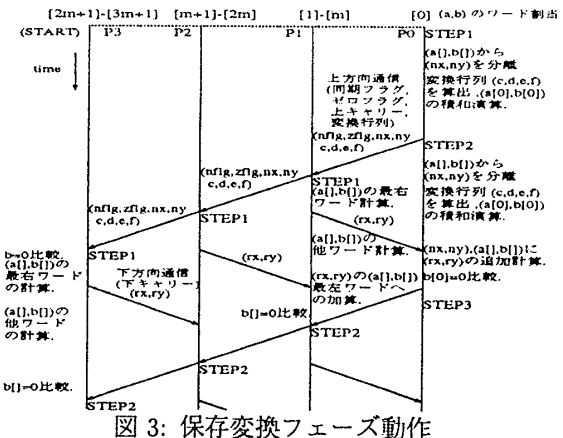


図 3: 保存変換フェーズ動作

1. $n_{a_i} = (a_i \text{ の左 } h - l \text{ ビット})$
2. $a_i = (\text{符号付き整数 } n_{a_{i-1}}) + (a_i \text{ の右 } l \text{ ビット})$
(b_i も同様)
3. $a_i = a_i \cdot c + b_i \cdot e$
4. $r_{a_i} = (a_i \text{ の右 } k \text{ ビット})$
5. $a_i = (a_i \text{ を } k \text{ ビット右シフト}) + (r_{a_{i+1}} \text{ を } l - k \text{ ビット左シフト})$
(b_i も同様)

図 4: 多倍長計算

られる。従って、 Z_i の P_0 から P_{p-1} への伝播時間は保存変換ステップ実行時間の $p - 1$ 倍だけ減少する。プロセッサ間同期を線型でなく木状にとることにより、さらに定量遅延時間の削減が見込まれる。

4. LogPQ エミュレータによる実行評価

Hämäläinen が開発し公開している PRAM エミュレータ⁽²⁾を基に開発した、LogPQ エミュレータを用いて、並列多倍長 GCD プログラムの動作解析を行った。32 ビットプロセッサを想定すると、たとえば多倍長表記は $h = 23, l = 20, k$ 変換複合は $k = 8$ となる。

5. まとめ

本稿では LogPQ モデルを示し、LogPQ モデルを用いて並列多倍長 GCD アルゴリズムの検討を行った。特に、遅延の影響について、詳細に検討した。

この検討は、他アルゴリズムにも適用可能と思われるが、今後の課題である。

参考文献

- (1) D.Culler etc., ‘LogP:Towards a Realistic Model of Parallel Computation’, Proceeding of the 4th ACM SIGPLAN Symposium on Principles and Parallel Programming (1993).
- (2) P.Hämäläinen, ‘PRAM EMULATOR’, University of Joensuu, Department of Computer Science, Joensuu, Finland (1993).
- (3) B.Chor etc., ‘An Improved Parallel Algorithm for Integer GCD’, Algorithmica, 5, pp.1-10 (1990).
- (4) 亀山充隆他, ‘Signed-Digit 数系に基づく双方向電流モード多値基本演算回路とその評価’, 信学論 D, Vol.J71-D No.7, pp.1189-1198 (1988).